

JAERI-M
7721

放射性同位体製造資料—1221

α 線スペクトル解析プログラム ALPS
—プログラムの解説と使用法—

1978年6月

馬場 宏

日本原子力研究所
Japan Atomic Energy Research Institute

この報告書は、日本原子力研究所が JAERI-M レポートとして、不定期に刊行している研究報告書です。入手、複製などのお問合せは、日本原子力研究所技術情報部（茨城県那珂郡東海村）あて、お申しこしください。

JAERI-M reports, issued irregularly, describe the results of research works carried out in JAERI. Inquiries about the availability of reports and their reproduction should be addressed to Division of Technical Information, Japan Atomic Energy Research Institute, Tokai-mura, Naka-gun, Ibaraki-ken, Japan.

α 線スペクトル解析プログラム A L P S
— プログラムの解説と使用法 —

日本原子力研究所アイソトープ事業部製造部
馬 場 宏

(1978年5月23日 受理)

α 線スペクトル解析用の電子計算機プログラム A L P S を作成した。プログラムの構成は、先に開発した γ 線スペクトル解析用プログラム BOB73S と本質的に同じであり、ただ、ピーク・フィッティングの部分だけが異っている。 α 線の波形関数として、高エネルギー側のスロープをガウス関数で、低エネルギー側の緩やかなテーリングの部分を指數関数で近似して、両者をなめらかに接続する方法を探っている。波形関数を与えるためのパラメーターの値は、スペクトル中の個々のピーク群毎に別個に定められる。プログラムの大きさは 114 K 語であり、処理速度は、極端に複雑なスペクトルでなければ、FACOM 230-75 で 10 秒以内である。

プログラムの説明として、その構成、機能ならびに詳細な使用法が与えられている。また、プログラムの信頼性をチェックする目的で行ったプルトニウム同位体混合試料の α 線スペクトルと、 ^{210}Po の単一 α 線スペクトルから合成したスペクトルとを用いた 2通りのテストの結果が与えられている。

α -Spectrum Analyzing Program ALPS

Hiroshi Baba

Division of Radioisotope Production

Radioisotope Center, JAERI

(Received May 23, 1978)

A computer program was developed for the analysis of spectrum. The construction of the program is essentially the same as that of the γ -spectrum analyzing program BOB73S, except for the peak-fitting part. The α line shape function was approximated with a Gaussian on the high-energy side smoothly connected to an exponential function for the loose tail on the low-energy side. Parameters describing the line shape function was determined separately for individual peak compounds in the spectrum. The program size is 114k words and the speed of analysis is less than 10 sec by FACOM 230-75 for a spectrum with appropriate sharpness.

Structure and functions of the program are described, and instructions are given on program usage. Reliability of the program was examined with α spectra obtained with plutonium isotopes and those constructed artificially with the single-peaked ^{210}Po spectrum.

Keywords: Data Processing, α Spectrum Analysis, Computer Program, NBS Pu-Standard Sample, Instruction Manual

目 次

1. 序 論	1
2. プログラム A L P S の説明	2
2.1 A L P S の機能の説明	2
2.2 プログラムの構成	4
3. 入力データ	7
3.1 入力データの基本的構成	7
3.2 入力データの変則的な構成	8
3.3 コントロール・カード M-1 および M-1'	9
3.4 スペクトル・データの頭につけるカード (CD-0, CD-1, CD-2 および CD-2')	15
3.5 エネルギー較正ならびに計数効率補正のための入力データ	19
4. A L P S の性能試験と考察	21
謝 辞	23
文 献	24
図	25~33

Contents

1. Introduction	1
2. Description of the program ALPS	2
2.1. Function of ALPS	2
2.2. Construction of ALPS	4
3. Input data	7
3.1. Basic constitution of the input data	7
3.2. Optional constitution of the input data	8
3.3. Control cards, M-1 and M-1'	9
3.4. Heading cards, CD-0, CD-1, Cd-2, and CD-2'	15
3.5. Input data for energy calibration and efficiency correction	19
4. Tests of ALPS and discussion	21
Acknowledgement	23
References	24
Figures	25~33

1. 序論

$\text{Ge}(\text{Li})$ 半導体検出器によって得られる γ 線スペクトルと異なり、表面障壁型半導体検出器の与える α 線スペクトルの解析には種々の困難が存在する。まず第一に、測定試料作製上の困難のために、全く同一の line shape を与えるような試料を二度と得ることはできない。第二に、実用上よく測定される α スペクトルにおいては、エネルギーの接近した2本以上のピークが重なり合って現われるのが普通である。このことは、スペクトル解析上基本となるピーク形を実測スペクトルの中に求めることができないことを意味する。

α スペクトルは通常单一核種の場合でもかなり複雑である。放出される α 線のあるものは互いに極めて近いエネルギーを有しているため、フィッティング操作によりそれぞれの成分に分割することがしばしば不成功に終ることになる。

これらの状態は α 線スペクトルの解析プログラムを開発しようとする試みに対して非常な障害であったに違いない。しかし乍ら、 α スペクトロメトリをアスペクトロメトリに匹敵し得る手段とするためには、 α 線スペクトルの電算機処理方式を完成させることが不可欠である。

幸いなことに、スペクトル解析のプログラムはフィッティングの部分を除けば、一般的な形に組み上げられることが知られている¹⁾。その場合、対象とするスペクトルの特徴はピーク・フィッティングの部分においてのみ考慮すればよいので、問題は著しく簡単化される。

本プログラムは上述の原理に基づいて作成された α 線スペクトル解析プログラムであり、 γ 線スペクトル解析プログラム BOB73S¹⁾と極めて類似した構成になっている。両者の違いはピーク・フィッティングの部分にのみ存する。 α 線のレスポンス関数は、それぞれのピーク群毎に、フィッティングの過程の中で、ピーク群全体に対するフィットを最適にするように現象論的に定められる。

プログラムの大きさは、114K語であり、ピーク形の良好なスペクトルならば、FACOM 230-75で10秒以内で処理される。

第2節でプログラムの説明、第3節でプログラムの使用法の説明、第4節でプログラムの性能をテストした結果と考察を与える。

2. プログラム ALPS の説明

2.1 ALPS の機能の説明

α スペクトルの複雑さのため、充分満足できる結果が自動解析によって得られない頻度が高い。そのため、プログラムには、複合ピークの多重度、ピークの位置、ピークの相対強度、あるいはピークのレスポンス関数などフィッティングの際の解析条件に関して、解析者の介入選定し得る余地が多分に残されている。原則的には、解析は完全に自動的に行われるが、もしその結果が思わしくない場合には、解析者が、フィッティングの初期条件を与えるとか種々のパラメーターの値を適正な値に固定するとかの操作を行うことによって、解析過程に介入することができる。

処理プロセスは次の手順で進行する。最初にピーク探索の操作によって、ピーク領域、ピークの多重度ならびにピークの位置を求める。このピーク探索操作には γ 線スペクトル解析プログラムBOB73の部分プログラムPKRECをそのまま用いている。ここで、生の測定データはSavitzky-Golayの方法²⁾によって前もって平滑化されている。

ピーク群の中で最右翼に存するピークの高エネルギー側のスロープをガウス曲線にフィットせしめてその巾を決定する。次に当該ピーク群についてPKRECの結果得られた情報を基にして、単純なガウス曲線を基本関数として、ピークの多重度とピークの位置を予備的に定める。その際、基本となるガウス関数の巾は上に求めた値に等しく固定して置く。

この予備的なフィッティングの結果に基づき、ピーク間隔の最も長い部分を選び出し(Fig. 1参照)，その部分を次の関数に近似する：

$$y(x) = \exp \{ a(x-x_0)^3 + b(x-x_0)^2 + c(x-x_0) + d \} \quad (1)$$

ここで、 x_0 はピーク位置を表わす。a, b, cおよびdはフィッティング操作により定められるフリーパラメーターであるが、解析者は、これらのパラメーターの値自身を直接与えてもよいし、それらを決定すべきフィッティングを行う部分を指定することもできる。

(1)式で表わされる低エネルギー側のスロープは高エネルギー側のガウス曲線

$$y(x) = p \exp \left\{ -\frac{(x-x_0)^2}{\sigma} \right\} \quad (2)$$

で $x = x_0 + x_c$ の位置でなめらかに接続される。ここで p はピークの高さ、 σ はピークの巾を与える。また x_c は

$$ax_c^3 + (b + 1/\sigma)x_c^2 + cx_c + d - \ln p = 0 \quad (3)$$

の解である。a, b, c, d および x_c の 5 つのパラメーターのうち d は個々のピークによって異なる値となるが、残り 4 つのパラメーターは、ピーク群の中のすべてのピークに対して共通の

パラメーターとして扱うことができる。

ところで、(1)式で与えられる関数は単調関数ではない。 $\Delta x = x - x_0$ が減少するにつれて、この関数は極小点または変曲点を通過する場合がある。このような場合には、(1)式の代りに、下に与える極限値 y_0 を基にして

$$\left. \begin{array}{l} y(x) = \exp(a\Delta x + \beta) \\ y(x) = y_0 \end{array} \right\} \begin{array}{l} y(x) > y_0 \\ y(x) \leq y_0 \end{array} \quad (4)$$

という関数で置き換えることにする。ここで、スロープ a は(4)をある適当なチャンネルにおいて(1)式になめらかに接続するという条件から定められる。このことは、 a の値が接続点の関数になることを意味するが、接続点はピーク群全体としてのフィッティングを最適ならしめるように定められる。また、上述の極限値 y_0 は、ピーク領域の低エネルギー端の高さ h_L と高エネルギー端における高さ h_H とから

$$\left. \begin{array}{l} y_{0,i} = (h_L - h_H) p_i / \sum_{j=1}^m p_j \\ y_{0,i} = 0 \end{array} \right\} \begin{array}{l} h_L > h_H \\ h_L \leq h_H \end{array} \quad (5)$$

という関係式で与えられる量である。ここで、 $y_{0,i}$ は i 番目のピークに対する極限値、 m はピーク群の多重度である。ここで、ピーク面積としては、相互に撞着しないように、高さが y_0 より低くなる低エネルギー側の裾をカットした部分を取ることにしている。

ここまで段階で、Fig. 1 の場合のようにピークを余分に拾っている場合には、フィッティングのこの段階で落される。

最後に、すべてのフリーパラメーターは、関数値最小化法³⁾により最適フィットを与えるよう再適合の操作が繰り返される。その際に、最小化される関数として通常の χ^2 値を用いる代りに関根らの提唱した新しい尺度⁴⁾を用い、より良好な結果を得ている。このようにして得られた最終結果の一例を Fig. 2 に示す。

時として、大きなピークにかくされて見落された小さなピークを拾う必要が生じることがある。このような必要を充すために、上述の最終フィットが一通り終了した後に、観測されたスペクトルから組立てられたスペクトルを差し引いた残余のスペクトルを平滑化⁵⁾したあと、もう一度ピーク探索操作を繰り返し、検出されたピークを先に解析されたピーク群に加えた上で最終フィットを行う機能がプログラムに付加されている。しかし乍ら、この機能は概して必要に多くの群小ピークを拾い勝ちであるので、通常の解析操作では作動させない方がよい。

場合によっては、先行するピーク探索の結果が不完全であったために、フィッティングのための初期条件の設定が不適当に行われ、それが原因で不満足な結果に終ることがある。そのような場合には状勢に応じて、多重度、ピーク位置、波形を与えるパラメーター等に対する初期条件を解析者自身が与えた上で再処理を行うことができる。

Fig. 3 は ^{239}Pu と ^{240}Pu の放出する α 線から成る複合ピークと、種々の手順による解析結果の例を示す。そのうち、a は全処理を自動的に行わせた場合の結果、b は多重度とピーク位置についての初期値を与えた上で解析を行わせた場合の結果、c は多重度、ピーク位置の外にそ

それぞれの核種の α 線の相対強度を指定した上でレスポンス関数と ^{239}Pu と ^{240}Pu の相対比のみをフィットせしめた場合の結果を与える。

a の場合には、両者合わせて 5 本ある α 線が 4 本しか検出されていない。b の場合には、予め与えた初期条件に対応して正しく 5 本のピークに分割され、且それぞれのピーク位置も正しく与えられているが、各ピークの相対強度は正しくない。このように極めて複雑な複合ピークの解析には、結局 c のような手順の解析を行わないと満足すべき結果が得られないことが結論される。このことは、予めフィッティングの基本関数であるピークの波形関数を固定して置けないという難点に大きく制約されることを示している。なお Fig. 3 c の中に点線で示された 6 本の小さなピークは、前述した残余スペクトルについてのピーク探索機能を作動させることによって追加された成分である。

フィッティング操作が完了した後、エネルギー較正や計数効率補正等の機能その他が付加される。前述したように、フィッティング操作の部分以外は BOB73S に類似している。プログラムのフローチャートを Fig. 4 に示す。

2.2 プログラムの構成

プログラム "ALPS" は以下に説明するエレメントから成っている。

FTMAIN: 必要なすべてのサブプログラムを結合して操作を完成させる機能のみを有する主プログラム。

CALAF: 作成したエネルギー較正曲線ないし計数効率曲線と入力した標準データとの関係を図示する部分プログラム。

CDREAD: カード形式の入力データを読み込むサブプログラム。ISFG ≥ 2 の場合に CALL される。スペクトル・データ・サイズ(チャネル数)は無制限である。

CLEAR: 変数の初期値をゼロに設定するためのサブプログラム。

DKREAD: ディスク又は磁気テープを媒体とする入力データを読み込むサブプログラム。ただし、データの FORMAT は (10F7.0) かバイナリイ形式のいずれかであることが要求される。データ・サイズの上限は 4100 チャネルである。ISFG=0 の時に CALL される。

ECHO: 正規の解析手順を施して得られた結果を用いてさらにその先のデータ処理(たとえば核種の同定等)を行う必要が生じた場合に、使用者自身の作成した部分プログラムを一時的に置換するためのダミープログラム。^{注1)}

ENGEF: エネルギー較正および計数効率補正のためのサブプログラム。較正曲線ないし計数効率曲線の作成には、内部または外部標準ピークを用いて作成するかないしは曲線を表わす多項式の係数を与えるかの 2 通りの方法がある。エネルギー較正曲線ではエネルギーがチャネル数の多項式で表わされ、計数効率曲線では、ピーク検出効率の対数値がエネルギー値の対数の多項式で表わされる。

FNXDQ: フィッティング操作の中で通常の χ^2 値と新しい尺度⁴⁾を計算するためのサブプログラム。

GRAFIC：フィッティングの結果を図示するための部分プログラム。

LINEAR：PKRECによるピーク探索とPKFITに於ける単純ガウス関数を用いての予備的なフィッティングの結果を利用して各ピーク成分のレスポンス関数を定め、最終的なフィッティングを行うためのサブプログラム。

LINEQ：最小自乗フィットの過程において逆行列を求めるためのサブプログラム。

LIVET：波高分析器でのデータ・アクセスがクロック・タイム・モードで行われた場合に、ライブ・タイムを計算するためのサブプログラム。CD-1のなかのITR=0且ITC, T0およびTSのすべてに数値が与えられた場合にCALLされる（第3節参照）。

MTREAD：Fig.5に例示したFORMATで磁気テープに書き込まれたデータを読み込むためのサブプログラム。データ・サイズ（チャネル数）は無制限である。ISFG=1の時にCALLされる。

NLALPおよびNLIEQ：フィッティングの際の基本レスポンス関数の値と、フリーパラメータについての微係数を計算するサブプログラム。

NONLIN：ガウス関数を用いる非線型最小自乗フィットのためのサブプログラム。

OUTPUT：データ出力のためのサブプログラム。

PKFIT：ピーク・フィットを行うサブプログラム。

PKREC：ピーク探索のためのサブプログラム。

POLIN：較正曲線の係数とその誤差を計算するサブプログラム。

POLIX：任意のピークについてエネルギーおよび計数効率を計算するサブプログラム。

POLSH：選び出されたスペクトルの一部をもとにして低エネルギー側のスロープを計算するためのサブプログラム。

PRETRT：入力データの前処理のため、必要に応じて使用者が作成したサブプログラムと一時的に置換するためのダミープログラム。^{注2)}

PSHAPE：選び出されたスペクトルの一部へのフィッティング操作により、低エネルギー側のスロープを与えるパラメーターを抽出するためのサブプログラム。

RESID：全体としてのフィッティングが一応終了した後実測スペクトルから組立てられたスペクトルを差引いた残余のスペクトルについてのピーク探索を行うサブプログラム。

IRES≠0でCALLされる。

SELECT：PKRECにおけるピーク探索の結果得られたピークのうち偽と思われるピークまたは群小ピークを除くためのサブプログラム。ISEL=1の時は群小ピークのみを除去し、ISEL=2の時は大きなピークのみを拾い出す。

SLAF：フィッティングによって作られたスロープを実測のスロープと比較図示するサブプログラム。

SMART：Savitzky-Golay法²⁾によるデータの平滑化と1次微係数を計算するサブプログラム。

SPECTR：入力スペクトル・データと解析結果をCALCOMP 900でプロットするためのサブプログラム。IPLT≠0でCALLされる。

注1) サブルーチン ECHO で用いられる COMMON 変数は次に示す通りである。

```

SUBROUTINE ECHO(K)
COMMON SDATA(4300), XA(4100)/SPT/DATA(4100),
1   COM(6), IDN(2)/PKF/XB(260), AREA(50), APK(50),
2   SIGAR(50), XC(70)/ENG/XD(40), ENGY(50),
3   EENGYQ(50), XE(60), ACTY(50), SIGAC(50), XF(20),
4   UNIT
COMMON/OUT/XG(3), INIT, IFIN, XH(8), TR, PDT,
1.  IDATE, ITIME, XI(12)

```

ここで

K : 検出されたピーコの数
SDATA : 平滑化データ
DATA : 生データ
COM : スペクトル・データについてのコメント
IDN : データ ID ナンバー
AREA : ピーコ面積
APK : ピーコ位置
SIGAR : AREA に含まれる標準偏差
ENGY : ピーコのエネルギー値
EENGYQ : ENGY に含まれる誤差
ACTY : ピーコの絶対強度
SIGAC : ACTY に含まれる誤差
UNIT : ACTY の単位

である。なお、INIT, IFIN その他の変数については第 3 節を参照されたい。

注2) サブルーチン PRETRT で用いられる COMMON 変数は次の通りである。

```

SUBROUTINE PRETRT(INIT, IFIN, INPT, N)
COMMON/SPT/DATA(4100), COM(6), IDN(2)

```

ただし N はダミー引数である。その他の引数については第 3 節を参照されたい。

Fig. 6 IC, すべてのサブプログラムの間の関係を図示したフローチャートを与える。

3. 入力データ

3.1 入力データの基本的構成

入力データ・セットは、解析条件を指定するコントロール・カード(# 1)、個々のスペクトル・データに関するデータ(# 2)、およびキャリブレーション用のデータ(# 3)の3種類のデータから構成される。データ# 1 が先頭に置かれ、解析条件を指定する。次に、単数または複数の標準スペクトル(データ# 2)が読み込まれ(IE = 1 の場合)、その後に較正用のデータ(データ# 3)が付される。このあとさらに、上の結果を利用して未知のスペクトルの解析を行う時には、内部較正から外部較正に条件を変えるために、再びデータ# 1 が与えられたあと、1ヶ以上の中間スペクトル・データ(データ# 2)が読み込まれる。この様子をTable 1 に示す。

Table 1 Basic structure of input data for (IE=1)

データ名	コメント
M - 1	データ # 1
CD - 0, CD - 1, CD - 2 スペクトル・データ	データ # 2
CD - 0, CD - 1, CD - 2 スペクトル・データ	(ISTD ケの標準スペクトルデータのセット)
.....	
E - 1, E - 2, E - 3, E - 4	データ # 3
<hr/>	
M - 1	データ # 1
CD - 0, CD - 1, CD - 2 スペクトル・データ	データ # 2
CD - 0, CD - 1, CD - 2 スペクトル・データ	(任意箇の未知スペクトル・データ)
.....	

もし、キャリブレーションを行う必要がなければ、入力データ・セットはさらに簡単になり、Table 1 の破線より下の部分だけでよい。

Table 1 は内部較正を行う場合であるが、較正曲線が既に求められている場合には、標準スペクトルの代りに較正曲線の係数を与えるだけでよい (IE=2)。この時の入力データ・セットの構成を Table 2 に示す。

Table 2 Basic structure of input data (for IE=2)

データ名	コメント
M-1	データ # 1
CD-0, CD-1, CD-2 スペクトル・データ	データ # 2
E-5, E-6, E-7, E-9	データ # 3
M-1	データ # 1
CD-0, CD-1, CD-2 スペクトル・データ	データ # 2
CD-0, CD-1, CD-2 スペクトル・データ	任意箇の未知スペクトル・データ
.....	
.....	

個々の入力データの詳細な説明は 3.3 以降に与える。

3.2 入力データの変則的な構成

データ # 1 (M-1 カード) の変形データ M-1' は、M-1 カードの中の ISFG<0 の場合に M-1 カードの後に付される。M-1' カードは解析条件を数字の代りに英字で指定する時に使用される (3.3 参照)。

データ # 2 の部分のバリエーションは Table 3 に示した通りである。

Table 3 Variations in the data #2

データ名	コ メ ン ト
C D - 0	ディスク又は磁気テープに記録されたデータを呼び出す時に要求される
C D - 1 C D - 2 }	カード形式のデータに対しては常に必要。ディスク又は磁気テープ・データに対しては I H D ≠ 0 の場合のみ必要
C D - 3	カード形式のデータに対し, I F M T ≥ 2 の場合に必要(任意FORMAT)
スペクトル・データ	
C X - 1 C X - 2 }	ディスク又は磁気テープ・データについて, IXCN ≠ 0 の場合に必要
C D - 3'	カード形式のデータについて I S F G > 2 の場合に必要

Table 3 には 2 つのダミーサブルーチン P R E T R T および E C H O で要求される入力データは含まれていない。もし利用者が P R E T R T の中で入力を必要とする場合には、そのデータは P - 2 と P - 3 の間に挿入せねばならないし、E C H O で要求される入力データは、較正用のデータのあとに付されることになる。

3.3 コントロール・カード M - 1 および M - 1'

Table 4 Formats of M-1 card

変 数	カラム位置	FORMAT	コ メ ン ト
I S F G	1 — 2	I 2	< 0 解析条件 ^{a)} を英字で与える。 = 0 CDREAD 経由で入力 = 1 MTREAD 経由で入力 ≥ 2 カード式の入力 ^{b)}
I S T D	3 — 4	I 2	標準スペクトルの箇数
I E	7 — 8	I 2	= 0 外部較正 = 1 内部較正 = 2 既知の較正曲線を与えて較正 = 9 較正を行わず
I E N G	9 — 10	I 2	= 0 エネルギー較正と計数効率補正 の両方を行う $\neq 0$ エネルギー較正のみ
I F M T ^{c)}	13—14	I 2	= 0 (10 F 7.0) = 1 (F 6.0, 9 F 7.0) = 2 バイナリイ・データ (I S F G = 0 の場合) ≥ 2 任意FORMAT (カード形式の 入力のみ)
I P L T	15—16	I 2	= 0 プロットせず = 1 2.5 チャネル/mm = 2 5 チャネル/mm = 3 1 チャネル/mm = 10 10 チャネル/mm = 20 COM プロット = 30 COM プロット (スライド原図 作成用)

I W (1)	17-18	I 2	= 0 解析条件の一覧表をプリント。 ≠ 0 解析条件プリントせず
I W (2)	19-20	I 2	= 0 生データ・プリント ≠ 0 平滑化データ・プリント = 2 生データ, 平滑化データ共にプリント = 3 SMARTの結果を生データと共にプリント = 4 プリントせず
I W (3)	21-22	I 2	= 0 PKRECの結果をプリント ≠ 0 プリントせず
I W (4)	23-24	I 2	= 0 最終結果をプリント ≠ 0 プリントせず
I R E S	25-26	I 2	= 0 残余スペクトルについてのピーク探索せず ≠ 0 残余スペクトルについてピーク探索
I F T G ^{d)}	27-28	I 2	= 0 フィッティングせず = 1 複合ピークのみフィッティング = 2 すべてのピークについてフィッティング = 3 フィッティングの初期値を与える = 4 多重度とピーク位置を指定した値に固定してフィッティング。最終的な微調整は適用される。 = 5 関係する核種の数, 放出 α 線の数, エネルギー, 分岐比を与えて核種同志の相対強度を求める。
NONPR	31-32	I 2	= 0 NONLIN, LINEAR 関係の出力せず = 1 NONLIN, LINEAR への入力のみプリント = 2 NONLIN, LINEAR からの出力のみプリント

			= 3	NONLN, LINEAR の入出力 をプリント
I G F T	33-34	I 2	= 0	ピーク・フィットの結果を図示 せず
			≠ 0	ピーク・フィットの結果を図示
I P K W	35-36	I 2	= 0	PKFITの結果出力せず
			≠ 0	PKFITの結果を出力
I W T	37-38	I 2	= 0	重み付きフィット
			≠ 0	重みなしフィット
I S E L	39-40	I 2	= 0	ピークのフィルトレーションせず
			= 1	小ピーク(ごみ)を除去
			= 2	大きいピークのみ選択

a) M-1'を用いて英字名で解析条件を指定する方法についてはTable 7を参照されたい。この場合、M-1カードで既に定義したインデックスについては、M-1'で定義し直さない限り、活きている。

b) 2より大きいISFGの値はスペクトル・データのカード枚数の不確かさを与える。即ち、この方法を用いればデータ・サイズを正確に知らなくても入力できる。この場合には、スペクトル・データ・カードの末尾に1から7カラム迄9999999とパンチしたカード(CD-3')を付けておく必要がある。プログラムはIFIN-10×ISFGチャネルからのエンド・マークを探し始め、このマークに出合うと同時に読み込みをストップする。ただし、この場合のFORMATは(10F7.0)又は(10I7)でなければならない。

c) IFMTの機能は、DKREAD, MTREAD, CDREADの間でIFMT ≥ 2 に対して少しずつ異っている。DKREAD(ISFG=0)に対しては、2以上のIFMTはバイナリ形式のデータを意味しているが、CDREAD(ISFG=2)に対しては、可変FORMATを意味し、したがってFORMATを指定する余分なカード(CD-3)が必要である。MTREADでは、IFMT ≥ 2 はIFMT=1と同等の機能しかない。

d) IFTG ≥ 2 の窓口は、自動解析の結果が思わしくない場合に、スペクトルの複雑さに応じて、3通りの方法で利用者がフィッティング操作に入れるように用意されたものである。IFTG=3の場合には、予め指定したピーク群について多重度とピーク位置(チャネル数)の初期値を与える。その際には下のTable 5に示すようなデータがスペクトル・データのあとに付け加わる。

Table 5 Additional input data when IFTG=3 or 4

カード名	変数名	カラム位置	FORMAT	コメント
F-1	NAPK	1 - 2	I 2	指定したいピーク群の数
F-2	N J P K (I), I=1, NAPK	1 - 2 5 - 6 9 - 10	4 0 I 2	指定したい各ピーク群の順番
	J F I X (I), I=1, NAPK	3 - 4 7 - 8 11-12	4 0 I 2	N J P K (I) 番目のピーク群 の多重度 - 1
F-3 ^{a)}	C O E F (J), J = 1, 4	1 - 40	4 E 1 0.4	Shape parameters, ブラン クならば自動的に探す
	I S 1, I S 2	41-48	2 I 4	Shape parameterを決める領 域界, ブランクの時は自動的 に決める
F-4 ^{a)}	P K (J), J = 1, I PK	1 - 80	8 F 1 0.3	指定するピーク・チャネル, I PK = J F I X (I) + 1

a) F-3とF-4の組み合わせを1対とするデータをNAPK対重ねる。

次に IFTG=4 の場合は、予め指定したピーク群について、その多重度とピーク位置（チャネル数）を固定してフィッティングを行う。この場合は、M-1 カードの IFTG が 3 から 4 に変る以外は IFTG=3 の場合と全く変らず、入力データは Table 5 で与えられる。ただし、この操作過程では最後の関数値最小化法による総点検は適用されるため、予め与えた初期条件とは異った結果になる。

最後に、IFTG=5 の場合は、予め指定したピーク群について、多重度、ピーク位置を固定した上で、ピークをいくつかのグループに分け、同じグループ内のピークの相対強度をも指定する値に固定する方法である。この方法は、たとえば ^{239}Pu と ^{240}Pu の混在する α 線スペクトルを解析して両核種の相対強度を求めるといった場合に有用である。IFTG=5 の場合の入力様式を Table 6 に示す。

Table 6 Additional input data when IF TG=5

カード名	変数名	カラム位置	FORMAT	コメント
F-1	NAPK	1 - 2	I 2	指定したいピーク群の数
F-2	NJPK(I), I=1, NAPK	1 - 2 5 - 6 9 - 10	4 0 I 2	指定したいピーク群の順番
	J FIX(I), I=1, NAPK	3 - 4 7 - 8 11-12	4 0 I 2	指定したいピーク群の多重度 -1
F-3	COEF(J), J = 1, 4	1 - 4 0	4 E 1 0.4	Shape parameters, ブランク ならば自動的に探す
	IS1, IS2	4 1-4 8	2 I 4	Shape parameterを決める領 域界, ブランクの時は自動的 に決める
F-4'	EST(J), J = 1, IPK	1 - 8 0	8 F 1 0.3	含まれる全ピークのエネルギー (MeV); IPK = J FIX(I) + 1
F-5	EINT	1 - 1 0	E 1 0.4	IA チャネルに対応するエネ ルギー
	EFIN	11-2 0	E 1 0.4	IZ チャネルに対応するエネ ルギー
	IA, IZ	2 1-2 8	2 I 4	
F-6	INUO	1 - 4	I 4	サブ・グループの数
F-7	IPN(J), J=1, INUC	1 - 8 0	2 0 I 4	各サブ・グループに属するピ ークの数
F-8	IPKT(J, K), K=1, IPN(J)	1 - 8 0	2 0 I 4	J 番目のサブ・グループに属 する IPN(J) 箇のピークが各 々何番目のピーク(エネルギー の低い方から順に数えて) かを指定する
F-9	P1(J, K), K=1, IPN(J)	1 - 8 0	8 F 1 0.3	サブ・グループ内のピーク同 志の相対強度を与える(分岐 比のままでも良い)

注) F-3 ~ F-9までのカードを1組とするデータをピーク・グループの数NAPKセット重ねて与える。

英字名で解析条件を指定するM-1'の方式は、インデックスを数字で定義する場合に往々にして起るカラム位置の間違いを防ぐ目的で用意された。たとえば、通常固定されている解析条件に対応するインデックスをM-1カードで与えて置き、頻繁に変更する必要のある解析条件をM-1'カードで指定するという方式をとれば、入力時のエラーを大幅に抑えることができて便利である。M-1'に与える英字名は、(4n+1)から始まる4カラムに与えさえすれば相互間の順序は任意でよく、又途中にブランクがあっても差しつかえない。

Table 7 Alphabetic assignment of indexes

記号	コメント	記号	コメント
DISK	ISFG=0	LIST	IW(1)=1
TAPE	ISFG=1	DATA	IW(2)=2
CARD	ISFG=2	RSUL	IW(3)=1
INTL	IE=1	FINL	IW(4)=1
COEF	IE=2	PFIT	IFTG=2
NCAL	IE=9	FOUT	NONPR=2
ENGY	IENG=1	GRAF	IGFT=1
BNRY	IFMT=2	RITE	IPKW=1
FMAT	IFMT=3	WEIT	IWT=1
PLOT	IPLT=2	FILT	ISEL=1
COM	IPLT=20	SUTX	IRES=1

3.4 スペクトル・データの頭につけるカード(CD-0, CD-1, CD-2 およびCD-2')

ディスク又は磁気テープに記録されたスペクトル・データを呼び出すには Table 8 に示す CD-0 カードを必要とする。

Table 8 Format of CD-0

変数	カラム位置	FORMAT	コメント
IDNM	1 - 4	A 4	スペクトル・データの標識名 ^{a)}
IDISK	5 - 6	I 2	$\neq 0$ 再編集したデータをディスクに 書き込む ^{b)} (バイナリー形式)
IHD ^{c)}	7 - 8	I 2	= 0 CD-1, CD-2 のいずれも変更 せず = 1 CD-1 の内容を訂正 = 2 CD-2 の内容を訂正 = 3 CD-1, CD-2 共に訂正
IRW	9 - 10	I 2	$\neq 0$ ディスク又は磁気テープの巻き 戻し
IXCN	11-12	I 2	差し代えすべきデータ・カードの枚数 (20枚以内) ^{d)}

a) 各スペクトル・データの ID 名には、8 文字で表わされるデータ名の最初の 4 文字が用いられる (Fig. 5 参照)。

b) ディスク (又は磁気テープ) からの読み取りの機番は F 0 1, 書き込みの機番は F 0 2 である。最初に ID 名とデータ・サイズ (チャネル数) が 1 データ・ブロックとして書き込まれ、次いで CD-1, CD-2, 最後にスペクトル・データの順に書き込まれる。最大データ・サイズは 4 1 0 0 であるが、CDREAD 又は MTREAD を利用すればデータ・サイズを無制限に大きくできる。

c) ヘッディング・データ CD-1, CD-2 の内容は、CD-0 カードの後に、指定された FORMAT (Table 10 または 11 参照) でパンチしたカードを挿入することにより修正することができる。

d) CD-1 および CD-2 は、交換データのカード枚数 IXCN の中に含まれない。これらのカードは、CD-0 (CD-1, CD-2) の後に挿入される (Table 9 参照)。

Table 9 Format of the exchanging data cards

カード名	変数名	カラム位置	FORMAT	コメント
CX-1	IXC(I)	1 - 80	20 I 4	I 番目の差し代えカードの最初の チャネル数 I=1, IXCN
CX-2	A (J)	1 - 70	10 F 7.0	訂正データ, J=IXC(I), IXC(I)+9 (I=1, IXCN)

カード形式の入力の場合には CD-0 は必要でない。そのため、コントロール・カード M-1 のすぐ後に CD-1 カードが来る。ただし M-1 カードで $100 > ISFG \geq 2$ と与えておくことが要求される。特に $ISFG > 2$ の場合にはデータ・サイズを正確に知っていなくとも構わない。ただし、IFIN に適当と思われる値を与え、データの最後に 9999999 (1~7 カラム) とパンチしたカードを付けなければならない。こうしておくと、INPT チャネルから (IFIN-ISFG × 10) チャネル迄機械的にデータを読み込んだ後、入力カード 1 枚毎に 9999999 という数を改めながら読み進み、この数字に出会うと同時にデータ終了と判断する。

ディスク又は磁気テープを媒体とする入力データの際に説明したデータ修正機能はカード入力では必要ないので用意されていないが、その代り読み込んだデータをディスクに書き込む機能が要求される。そのため、カード入力 ($ISFG \geq 2$) の場合に限り、CD-2 カードの 21-22 カラムに IDISK が定義され、この値が 0 でない場合にはディスク書き込みの窓口 (機番は F02) が開く。

ヘッディング・カード CD-1 の説明を Table 10 に与える。

Table 10 Format of CD-1

変 数	カラム位置	FORMAT	コ メ ン ト
IDN	1 - 8	2A4	スペクトル・データ標識名
COM	9 - 32	6A4	スペクトル・データについてのコメント
ITR	33-38	I 6	計数時間 (ライブ・タイム・モード)
IUNT	39	I 1	= 0 時間単位 k sec = 1 時間単位 100 sec = 2 時間単位 sec = 3 時間単位 min
ITC	40-45	I 6	計数時間 (クロック・タイム・モード)
IDATE	46-51	I 6	測定日時 (西暦年の下 2 衔, 月(2 衔) 及び日(2 衔))
ITIME	52-55	I 4	測定開始時間
PDT	56-60	F 5.2	不感時間 (%)
T0	61-66	F 6.2	不感時間補正式の定数項
TS	67-72	F 6.3	不感時間補正式のチャネル数比例項の 係数

利用者は必ずしも Table 10 に掲げられた変数のすべてを定義する必要はない。常に要求されるデータは I D N と C O M だけである。もし、絶対強度を求めたい場合には、この他に I T R と I U N T が要求される。ただし、測定がライブ・タイムでなくクロック・タイム・モードで行われているならば、 I T C , T 0 および T S を与えて I T R を計算させなければならぬ。もし、これらのいずれの値も与えられていない場合には I T R = 1 として計算が行われる。ヘッディング・カード C D - 2 の説明は Table 11 に与えられている。

Table 11 Format of CD-2

変 数	カラム位置	FORMAT	コ メ ン ト
I N P T	1 — 4	I 4	入力データの最初のチャネル
I F I N	5 — 8	I 4	入力データの最後のチャネル
I N I T	9 — 12	I 4	解析を始める最初のチャネル
I S M	13—14	I 2	≤ 10 ($2 \times I S M - 5$) ポイント平滑化 $= 11$ 3 ポイント平滑化 $= 12$ 平滑化せず
I S T P	15—16	I 2	$= 0$ 同じ条件下で解析を反復 $= 1$ 解析終了 $= 2$ 解析条件を変更 (M-1 読み込み) 後に解析を継続
I F C G	17—20	I 4	解析を行う最後のチャネル
I D I S K	21—22	I 2	$\neq 0$ 読み込んだデータをディスクに書き込む (ISFG ≥ 2 の場合のみ)

I F C G が特に与えられていない場合には、 I F I N が解析の最後のチャネルになる。利用者は、 M-1 カードで I F M T = 2 , I S F G = 2 (又は M-1' カードで " C A R D " , " F M A T ") と定義することにより、任意の FORMAT のカード形式のデータを入力することができる。この時の FORMAT の指定は次の C D - 3 カードを C D - 2 カードの後に挿入する。

Table 12 Format of CD-3

変 数	カラム位置	FORMAT	コ メ ン ト
F O R M	1 — 80	2 0 A 4	(指定する FORMAT)

3.5 エネルギー較正ならびに計数効率補正のための入力データ

較正操作のための入力には2通りの方式が用意されている。そのうちの1つの方式(M-1でIE=1又はM-1'で“INTL”)では、較正曲線はISTD箇の標準スペクトルの中に見出された複数箇の標準ピークを用いて作成される。この場合の入力データは、以下に述べるE-1からE-4迄のカードより成る。

Table 13 Format of E-1

変 数	カラム位置	FORMAT	コ メ ン ト
N P	1 — 5	I 5	較正に用いられる標準ピーク
M	6 — 10	I 5	較正曲線の次数 ^{a)}
E I N T	11—20	E 1 0 . 3	I A チャネルに対応するエネルギー(MeV)
E F I N	21—30	E 1 0 . 3	I Z チャネルに対応するエネルギー(MeV)
I P C H	31—32	I 2	$\neq 0$ ENGEFの結果 ^{b)} をパンチ出力
U N I T	35—44	E 1 0 . 3	放射能の単位(指定しない場合 10^4 cps)
W C H	45—54	E 1 0 . 3	観測されたピークの位置に含まれる誤差の許容幅(指定しない場合は10 keV)
I A	55—58	I 4	指定しない場合はINITで置き換える。
I Z	59—62	I 4	指定しない場合はIFINで置き換える

a) 較正曲線の次数は、与えた標準ピークの数以下でなくてはならない。時として、較正曲線を作成するに必要なだけの数の標準ピークを拾い損う場合がある。このような事態は、指定された許容誤差WCHに比較してEINT, EFINが充分正確に与えられていなかつたことに起因する。しかしそうかと言って、WCHにあまり大きい値を与えるのは、間違ったピークを拾い出す危険が増大するので望ましくない。経験的に言って較正曲線の次数は6以下に抑えるのが適当である。計算誤差の累積により6以上の次数の場合にとんでもない結果になることがある。

b) ここで言うENGEFの結果とは、E-5からE-9迄の入力データ・セットに對応し、その内容は多項式の係数の値と含まれる誤差である。即ち、そっくりそのままIE=2とした時のデータとして用いることができる。

Table 14 Formats of E-2, E-3, and E-4

カード名	変数名	カラム位置	FORMAT	コメント
E-2	EST(I)	1 - 80	8E10.3	標準ピークのエネルギー(MeV), I=1, NP
E-3	SACTY(I)	1 - 80	8E10.3	標準ピークの絶対強度, I=1, NP
E-4	GRATIO(I)	1 - 80	8E10.3	標準ピークの分岐比, I=1, NP

ここでE-3とE-4はエネルギー較正しか行わない場合(M-1でIEENG=1)には必要でない。SACTYとGRATIOの値は、両者の積が対応するピークの α 線放出率になるように適当に組み合わせる。

較正操作の残る1つの方式(M-1でIE=2又はM-1'で"COEF")では、較正操作を既知の曲線を用いて行う。その際の入力データはE-5からE-9迄のカードより成る。

Table 15 Formats of E-5 to E-9

カード名	変数名	カラム位置	FORMAT	コメント
E-5	ICEE	1 - 5	I5	エネルギー較正曲線の次数
	ES	11-21	E11.5	チャネル対エネルギー換算多項式フィットにおける分散
	FS	22-32	E11.5	エネルギー対計数効率曲線の多项式フィットにおける分散
	UNIT	33-43	E11.5	放射能の単位(指定しない場合は 10^4 cps)
E-6	C(I)	1 - 75	5E15.8	エネルギー較正曲線の係数, I=1, ICEE
E-7	XI(I,J)	1 - 69	3D23.16	エネルギー決定のための逆マトリックスの要素, I=1, ICEE, J=1, ICEE
E-8	CF(I)	1 - 75	5E15.8	計数効率曲線の係数, I=1, ICEE
E-9	XFI(I,J)	1 - 69	3D23.16	絶対強度決定のための逆マトリックスの要素, I=1, ICEE, J=1, ICEE

ここでE-7とE-9は、それぞれESとFSが0である場合には除外する。

4. ALPS の性能試験と考察

Fig. 7 IC α 線スペクトルの解析例を示す。このスペクトルはプルトニウム同位体の混合試料について得られたものである。図では、それぞれ ^{242}Pu , ($^{239}\text{Pu} + ^{240}\text{Pu}$) および ^{238}Pu の α 線から成る 3 つのピーク群が検出されている。点は実測のスペクトルを表わし、実線と破線はそれぞれ計算されたスペクトルとベースラインを与える。図中には、エネルギーの内部較正の結果も与えている。

プログラム ALPS の性能を調べる目的で、同一の試料溶液から異なる条件下で調製された幾つもの測定試料の与える α 線スペクトルを解析してその結果を比較した。測定試料の良否を表わす目安として、Table 16 に示すように、 ^{238}Pu の主ピークとピーク間の谷の高さとの比を用いた。

23 箇の測定試料について得られた ^{238}Pu の複合ピークを自動的に解析した。複合ピークの低エネルギー側の裾引きの微妙な違いは群小ピークについての結果を大きく変化させる。たとえば、 ^{238}Pu の 5.358 MeV のピークは必ずしも常に検出されるとは限らず、逆に、場合によっては他の余分なピーク迄拾うケースも見られた。

2 本の主ピークのみに関して言うならば、ピークのエネルギー値は土 1 keV の精度で決定できたと言える。一方、ピーク強度の精度は、上記 2 本の主ピークの面積の比を比較することによって検討した。結果を Fig. 8 に棒グラフの形で示す。比較のために、文献値⁶⁾を基にして計算した値を図中に加えてある。ただし、この参照値には報告されている α 分岐比に土 0.5 % の誤差があるものと仮定した時の誤差が付されている。Fig. 8 によると、ALPS は文献値に比較して、 $I_{5.456}/I_{5.499}$ の値が全体にやや低めになっているが、実測値同志の間では比較的良いまとまりを示していると言えよう。図中、1 例だけ 0.32 という低い値を示すデータがあるが、この試料については、自己吸収が非常に大きく、その結果スペクトルの歪みが大きくなっている。そのためフィッティングがあまり良好でない結果になっているので、一応考慮の対象から外すのが適当であると思われる。

Table 16 は NBS のプルトニウム標準試料から調整した 5 箇の測定試料の与えるスペクトルを用いて ALPS の定量性試験を行った結果を示す。ここでは、 ^{239}Pu と ^{240}Pu の放出する α 線から成る複合ピークを解析して、異なったスペクトル形のデータの間で、どの程度一致する結果が得られるかを検討した。スペクトルの良否を表わす尺度としては、前述したように、共存する ^{238}Pu のスペクトル中のピークと谷の高さの比を用いている。解析に当っては、プルトニウム同位体毎にその主たるピークのエネルギーと相対分岐比を指定した値に固定し、 ^{239}Pu と ^{240}Pu の存在比を求める方式を探った。この同位体存在比は ^{239}Pu の 5.156 MeV のピークと ^{240}Pu の 5.168 MeV のピークの面積から計算した。

Table 16 の結果から見て、測定試料の状態が良好な場合即ち、ピークと谷の比が大きい場合には、データ相互にかなり良い一致が認められると結論できよう。これに反して、状態の悪い試料については良くない結果に終っている。ところで、NBS の標準試料に付された原子数

Table 16 Results of a quantitative test of ALPS performed with five different sources prepared from the same sample solution.

Source Number	Peak-to-trough Ratio	$\frac{I_{238}}{(I_{239} + I_{240})}$	$\frac{I_{239}}{I_{240}}$
1	8.59	0.555±.002	1.002±.013
2	9.51	0.555±.003	1.000±.014
3	7.72	0.559±.006	0.775±.013
4	9.06	0.555±.004	1.064±.014
5	5.81	0.552±.003	0.930±.013
Reference	—	0.568±.012	1.126±.002

百分率の値から計算した ^{239}Pu と ^{240}Pu の α 放射能比は 1.12 ± 0.02 である。この値と α 線スペクトル・データから求めた値との間には 10% 程度の隔りがある。その原因については、ALPS の能力の限界を示すものと考えるべきであるが、それとも核データの誤差に起因するものであるのかは、現段階では判断できない。後者については、 α 分岐比以外にももし半減期の値に誤差があれば原子数百分率からの換算値を変える要因となる。

上記のテストの結果、今回開発した α 線スペクトル解析プログラム ALPS は、定性的には、少なくとも良好なスペクトルに対しては満足すべき結果を与えると言うことができる。定量的結果に関しては、スペクトル中の大きなピークの位置、したがってそのエネルギー値、は充分正確に決定することができる。しかし乍ら、大きなピークの裾に隠された群小ピークの位置を充分な信頼性を以って求めるることは期待できない。

一方、ピーク強度の決定に関する信頼度については、現テストでは明確な結論を得るに到らなかつた。この点を更に検討する目的の下に、単一 α 線放出核種を選んでその α 線スペクトルを測定した。次に、得られた α 線スペクトルを基本スペクトルとして、種々の強度比の α 線ピークを種々の間隔で重ね合わせた試験スペクトルを人工的に作成し、ALPS で解析した。

Fig. 9 に基本スペクトルとして用いた ^{210}Po の α 線スペクトルを示す。半値幅は 10.0 チャネル、エネルギー値に換算して 32 keV であった。解析結果を Fig. 10 から Fig. 13 迄に示す。Ge (Li) r 線スペクトルの場合¹⁾ と異なり、緩やかなテール部分の微妙な変化に基本波形関数が影響されるため、系統的な傾向を見ることはできない。これは 1 つには、Fig. 9 に示した基本スペクトルそのものが裾の部分にかなりの微細構造を示していることが原因していると思われる。ただ、或る程度ピーク間の間隔がある場合には、2 乃至 3% 程度の誤差でピーク面積の定量が可能であると言えるようである。例外として、大きなピークの低エネルギー側のスロープに乗った小さなピークについては、定量が極めて困難である。

結論として、今回開発した α 線プログラム ALPS は、その定量性において今一步の改良が望まれる。しかし乍ら、 α 線スペクトロメトリ自体が直面している種々の制約のため、プログラムの改良には大きな困難が伴うことが予見される。

謝 詞

プログラムの開発ならびにテストに必要な α 線スペクトル・データの収集には原子炉化学部燃焼率測定研究室鈴木敏夫、岡崎修二の両氏に御甚力頂いた。また、 α 線のシングル・スペクトルを得るために ^{210}Po の線源の製造には製造部製造技術課の加藤岑生氏を煩わした。以上の方々に對して謝意を表します。

百分率の値から計算した ^{239}Pu と ^{240}Pu の α 放射能比は 1.12 ± 0.02 である。この値と α 線スペクトル・データから求めた値との間には 10% 程度の隔りがある。その原因については、ALPS の能力の限界を示すものと考えるべきであるか、それとも核データの誤差に起因するものであるのかは、現段階では判断できない。後者については、 α 分岐比以外にももし半減期の値に誤差があれば原子数百分率からの換算値を変える要因となる。

上記のテストの結果、今回開発した α 線スペクトル解析プログラム ALPS は、定性的には、少なくとも良好なスペクトルに対しては満足すべき結果を与えると言うことができる。定量的結果に関しては、スペクトル中の大きなピークの位置、したがってそのエネルギー値、は充分正確に決定することができる。しかし乍ら、大きなピークの裾に隠された群小ピークの位置を充分な信頼性を以って求めるることは期待できない。

一方、ピーク強度の決定に関する信頼度については、現テストでは明確な結論を得るに到らなかつた。この点を更に検討する目的の下に、単一 α 線放出核種を選んでその α 線スペクトルを測定した。次に、得られた α 線スペクトルを基本スペクトルとして、種々の強度比の α 線ピークを種々の間隔で重ね合わせた試験スペクトルを人工的に作成し、ALPS で解析した。

Fig. 9 に基本スペクトルとして用いた ^{210}Po の α 線スペクトルを示す。半値幅は 10.0 チャネル、エネルギー値に換算して 32 keV であった。解析結果を Fig. 10 から Fig. 13 迄に示す。Ge (Li) r 線スペクトルの場合¹⁾ と異なり、緩やかなテール部分の微妙な変化に基本波形関数が影響されるため、系統的な傾向を見ることはできない。これは 1 つには、Fig. 9 に示した基本スペクトルそのものが裾の部分にかなりの微細構造を示していることが原因していると思われる。ただ、或る程度ピーク間の間隔がある場合には、2 乃至 3% 程度の誤差でピーク面積の定量が可能であると言えるようである。例外として、大きなピークの低エネルギー側のスロープに乗った小さなピークについては、定量が極めて困難である。

結論として、今回開発した α 線プログラム ALPS は、その定量性において今一步の改良が望まれる。しかし乍ら、 α 線スペクトロメトリ自体が直面している種々の制約のため、プログラムの改良には大きな困難が伴うことが予見される。

謝 詞

プログラムの開発ならびにテストに必要な α 線スペクトル・データの収集には原子炉化学部燃焼率測定研究室鈴木敏夫、岡崎修二の両氏に御甚力頂いた。また、 α 線のシングル・スペクトルを得るために ^{210}Po の線源の製造には製造部製造技術課の加藤岑生氏を煩わした。以上の方々に對して謝意を表します。

文 献

1. H. Baba, T. Sekine, S. Baba and H. Okashita, JAERI report JAERI 1227 (1973).
2. A. Savitzky and M.J.E. Golay, Anal. Chem. 36, 1627(1964).
3. T. Shimanouchi and I. Suzuki, J. Chem. Phys. 42, 296(1965).
4. T. Sekine and H. Baba, Nucl. Instr. Methods 133, 171(1976).
5. H. Baba, ibid. 148, 173(1978).
6. C.M. Lederer, J.M. Hollander and I. Perlman, Table of isotopes, 6 th ed. (Wiley, New York · London · Sydney, 1968).

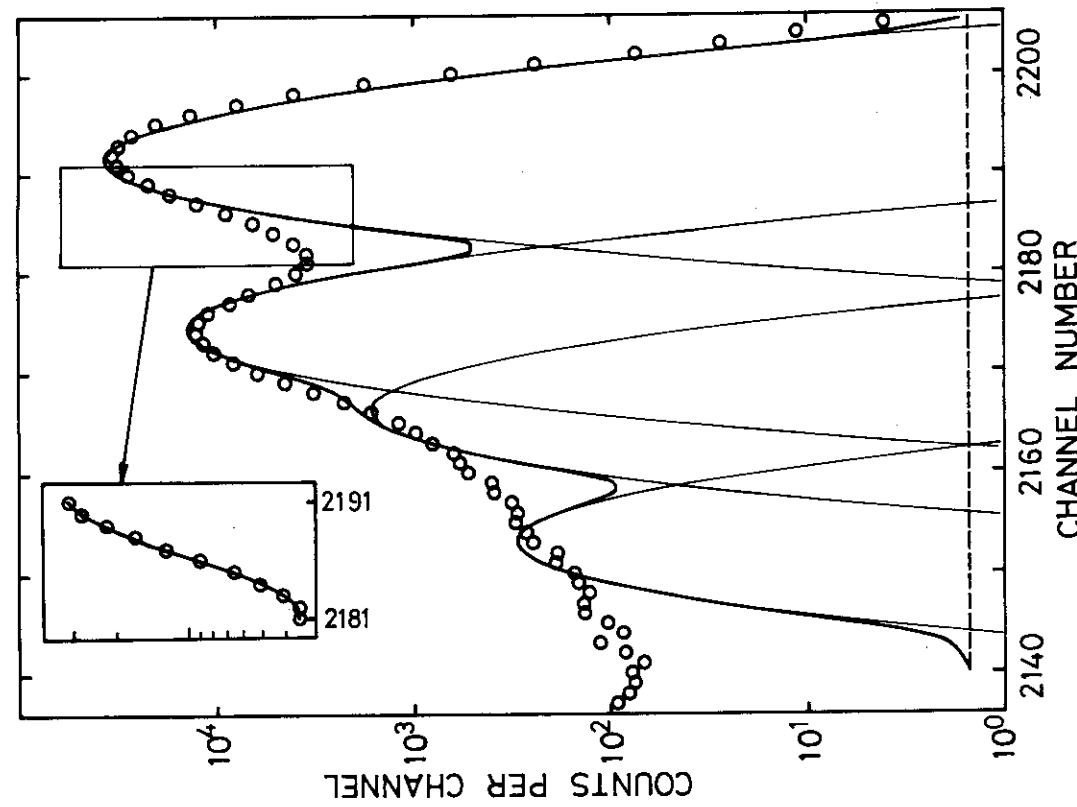


Fig. 1 The ^{238}Pu α spectrum and a preliminary fit with simple Gaussians (thin curves). The thick full curve represents the envelope of the Gaussian curves. The portion in a rectangle indicates the slope used for determination of the shape parameters.

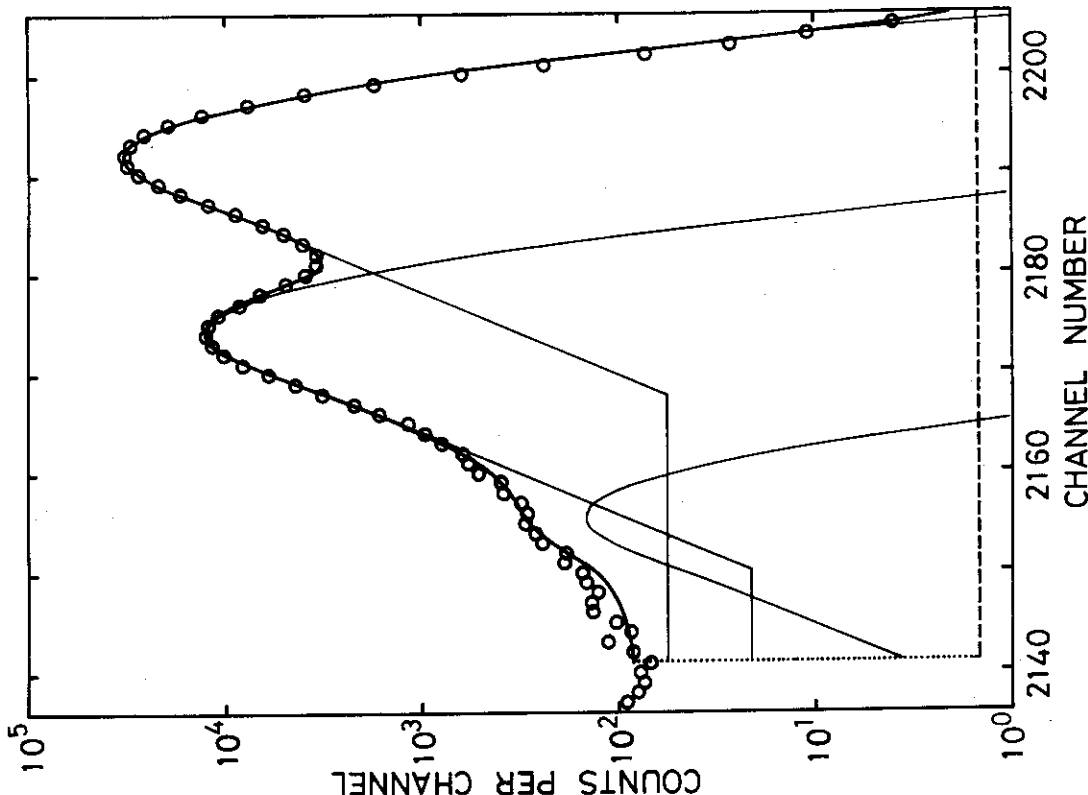


Fig. 2 Final fitting results for the same α spectrum as given in Fig. 1. The number of components was reduced from 4 to 3 in the course of the fitting procedure.

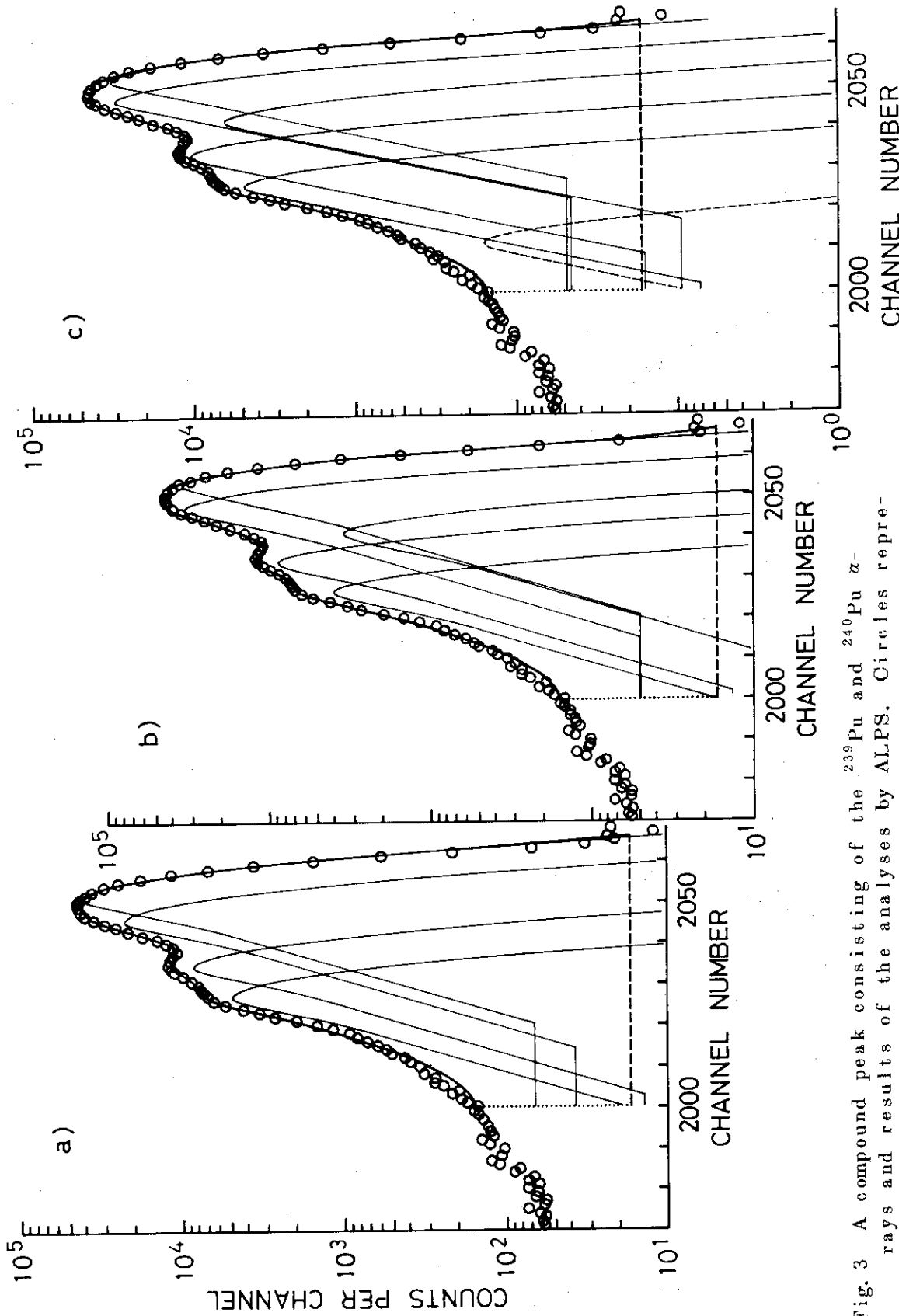


Fig. 3 A compound peak consisting of the ^{239}Pu and ^{240}Pu α -rays and results of the analyses by ALPS. Circles represent the observed spectrum, while thin lines, a thick dashed line, and a thick full line give individual α components, the base line, and the sum of them, respectively. More details are given in the text.

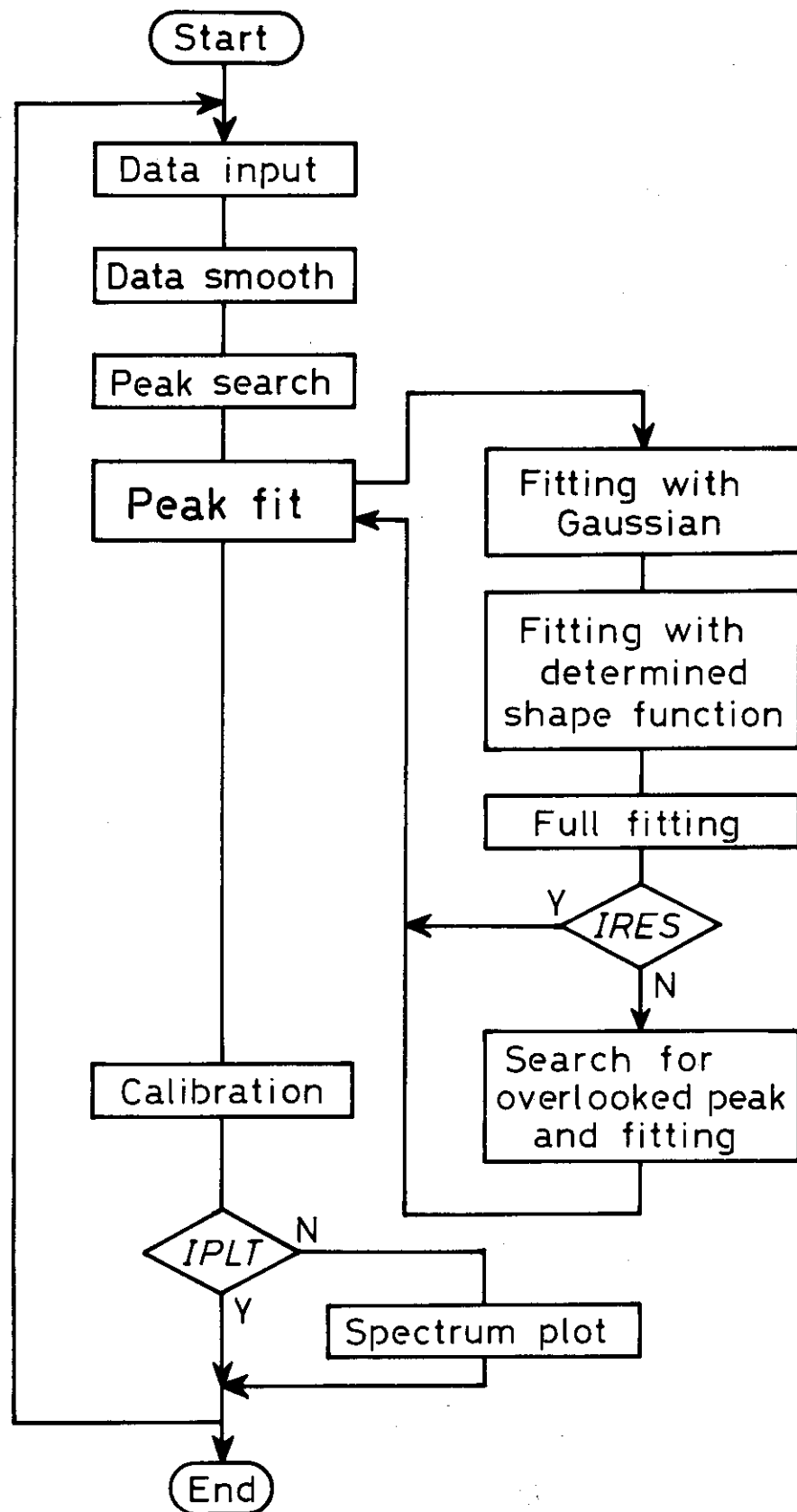


Fig.4 General flow chart of ALPS.

JAERI-M 7721

F01	E-01	MN-56	PILEUP	TAU=U.8	1002	7306261118	BEO10000			
11024	5011						BEO10010			
100	7448	808n	12508	12425	6852	6895	8479	9135	6902	BEO10020
6211	6285	6213	6094	5968	5864	5875	5965	5789	5822	BEO10030
5877	5822	5641	5795	5655	5540	5677	5751	5492	5513	BEO10040
5384	5452	5398	5455	5382	5250	5365	5248	5320	5190	BEO10050
5180	5153	5110	5232	5074	5202	5161	5151	5174	5337	BEO10060
5222	5583	5698	5754	5716	5349	5233	5236	5104	5021	BEO10070
4879	5027	5025	4856	4802	4759	4902	4783	4772	4528	BEO10080
4587	4618	4559	4529	4355	4421	4378	4293	4302	4165	BEO10090
4185	4156	4278	4226	4111	4207	4043	4130	4094	4109	BEO10100
4138	4165	4118	4133	4071	4016	3980	3931	3828	3983	BEO10110
3948	3852	3810	3832	3855	3803	3876	3738	3832	3709	BEO10120
3808	3762	3700	3812	3708	3599	3662	3524	3696	3603	BEO10130
3581	3607	3583	3495	3564	3550	3451	3561	3430	3459	BEO10140
3421	3554	3380	3427	3404	3462	3413	3498	3309	3325	BEO10150
3489	3326	3286	3331	3339	3433	3324	3419	3229	3327	BEO10160
3339	3227	3219	3296	3310	3278	3318	3273	3315	3336	BEO10170
3348	3310	3296	3371	3349	3364	3424	3314	3339	3369	BEO10180
3368	3378	3371	3745	4869	3773	3312	3383	3310	3225	BEO10190

E-02	MN-56	PILFUP	TAU=0.8	1	7306261126	BE020010				
11024	5011					BE020020				
1000	72016	75844	117802	118577	64046	63787	79107	85083	65300	BE020030
58024	57919	57259	57004	56121	55865	55372	54570	54404	53849	BE020040
54337	53312	52894	53198	52980	52320	52056	52002	51683	50982	BE020050
50711	50640	50551	49959	49640	49279	49281	48947	48781	48882	BF020060
48127	48619	48195	48065	48503	47897	47213	48296	48006	48393	BE020070
49242	51106	53029	52888	51419	50610	49204	48247	47326	46951	BE020080
45898	46014	45943	45460	44938	44977	44387	43705	43506	43218	BE020090

BE021070

44
EN

END OF FILE

Fig.5 Formats of the card-image data to be read in the subprogram MTREAD.

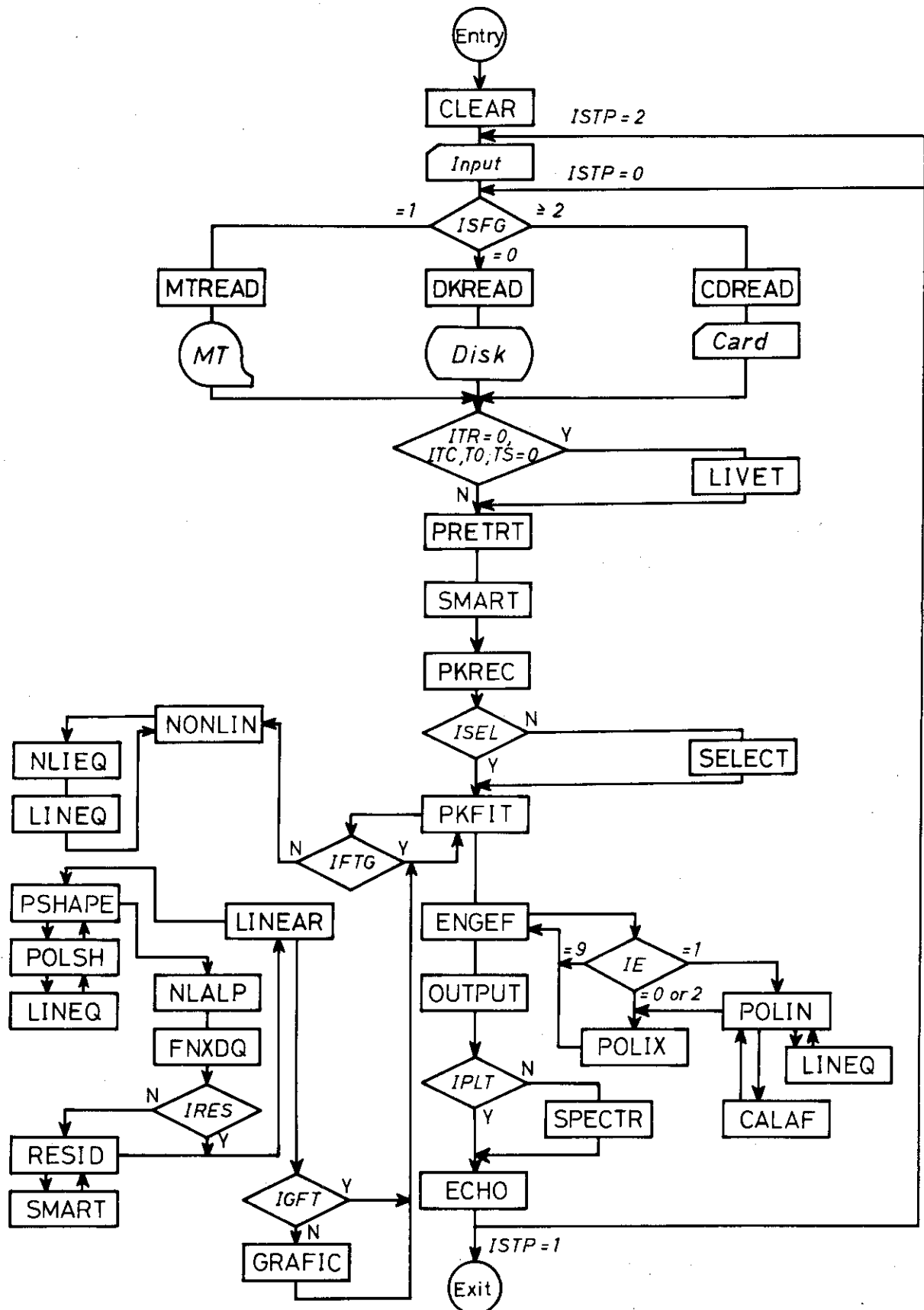


Fig.6 Structure of ALPS and the constitutive subprograms.

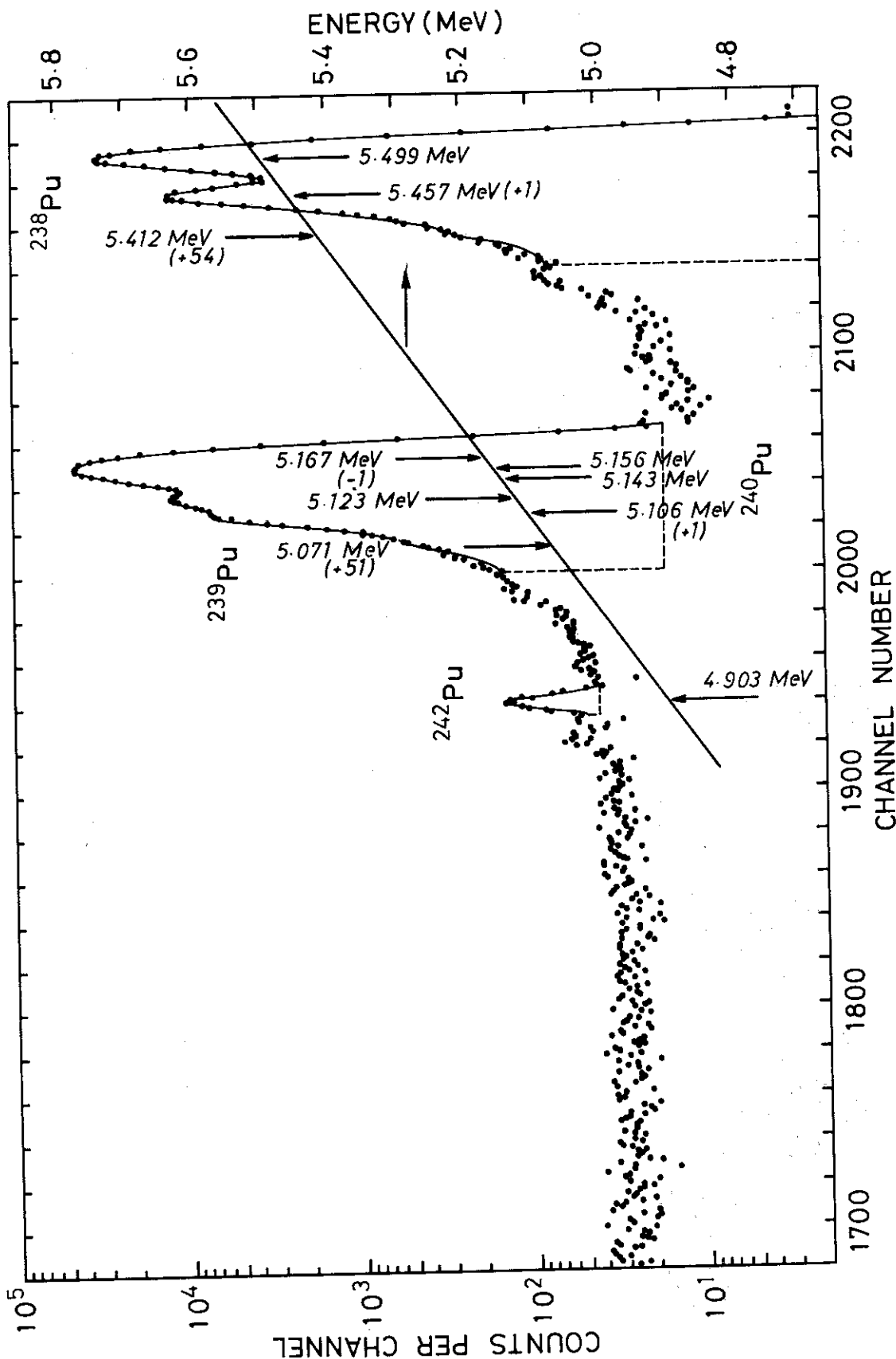


Fig. 7 An α spectrum measured with a source prepared from the NBS plutonium standard. Results of the analysis by ALPS are also shown in the figure. Thick full curves indicate fitted portions of the spectrum and vertical arrows point to the determined peak positions. Numbers attached to each arrow give the peak energy obtained as a result of internal calibration and deviation from the nominal value in keV.

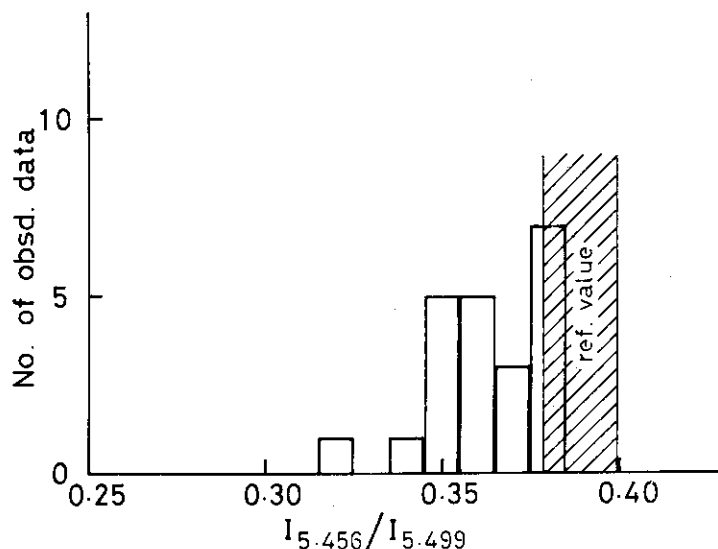


Fig.8 Peak intensity ratios obtained for 23 ^{238}Pu spectra. The hatched band gives the reference value⁶⁾ for which an inaccuracy of $\pm 0.5\%$ with respect to the reported branching ratios is assumed.

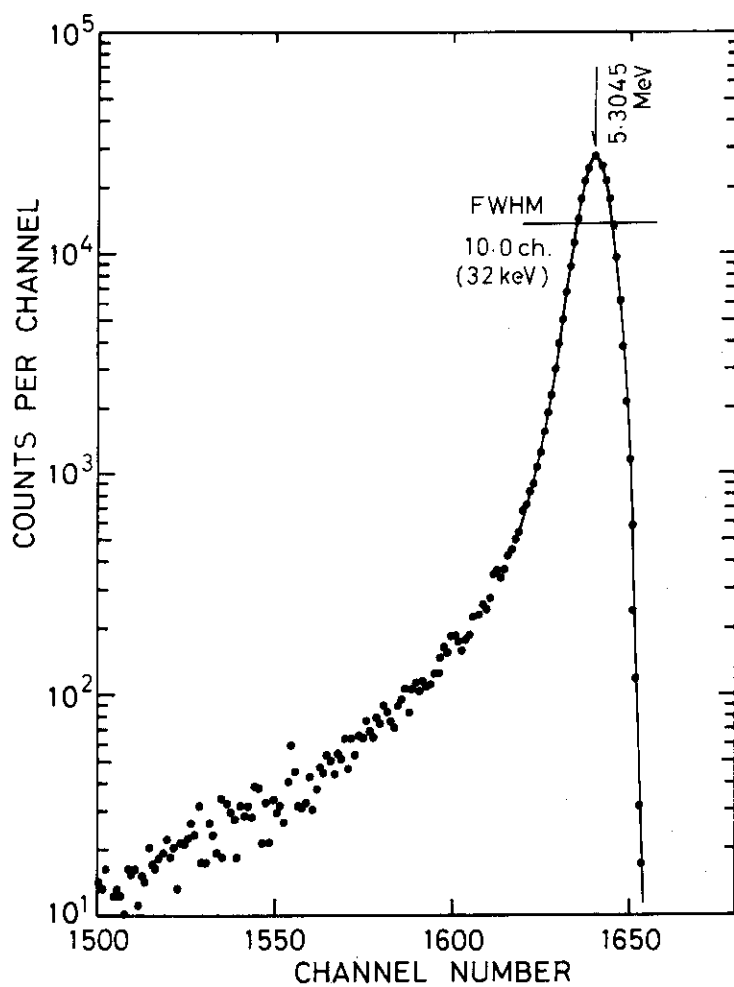


Fig.9 An α spectrum of ^{210}Po .

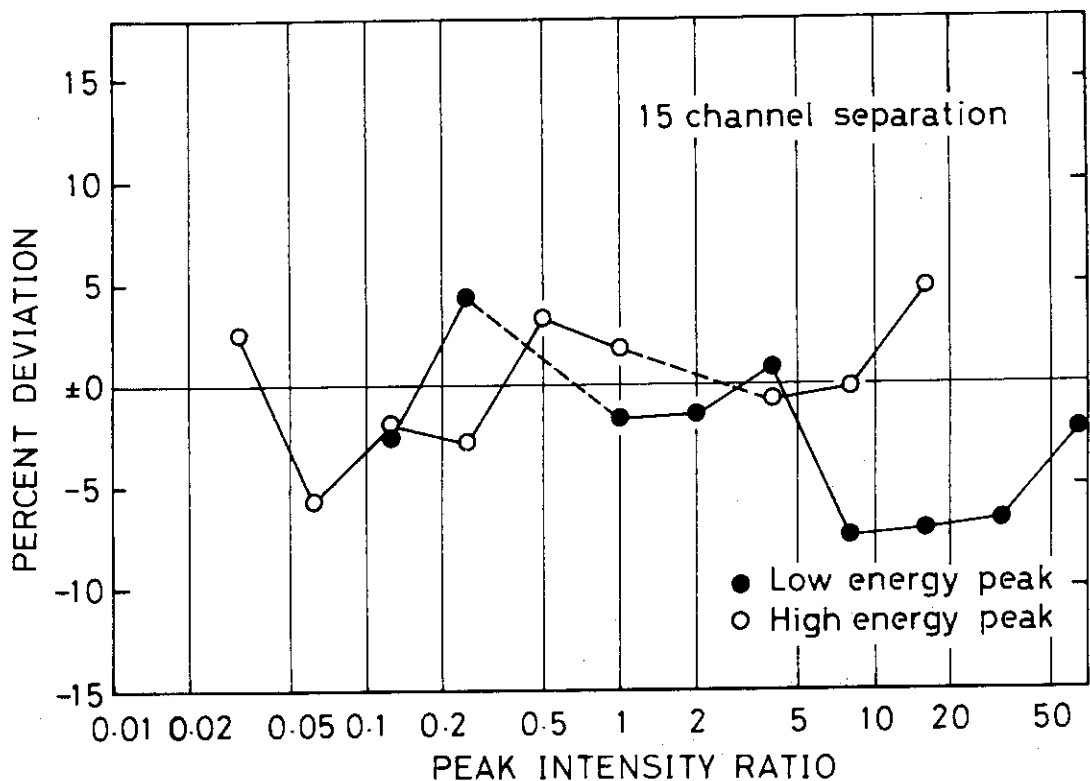


Fig.10 Results of an quantitative test of ALPS with artificially constructed spectra in which the two peaks were separated by 15 channels.

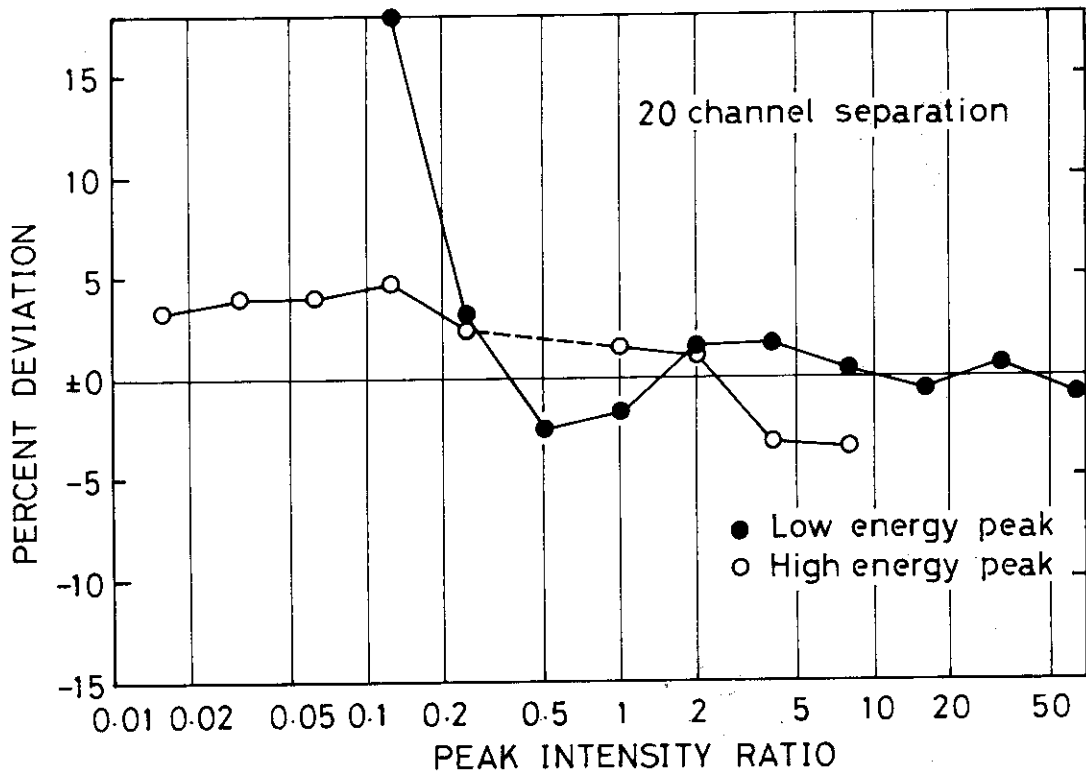


Fig.11 Results of an quantitative test of ALPS with artificially constructed spectra in which the two peaks were separated by 20 channels.

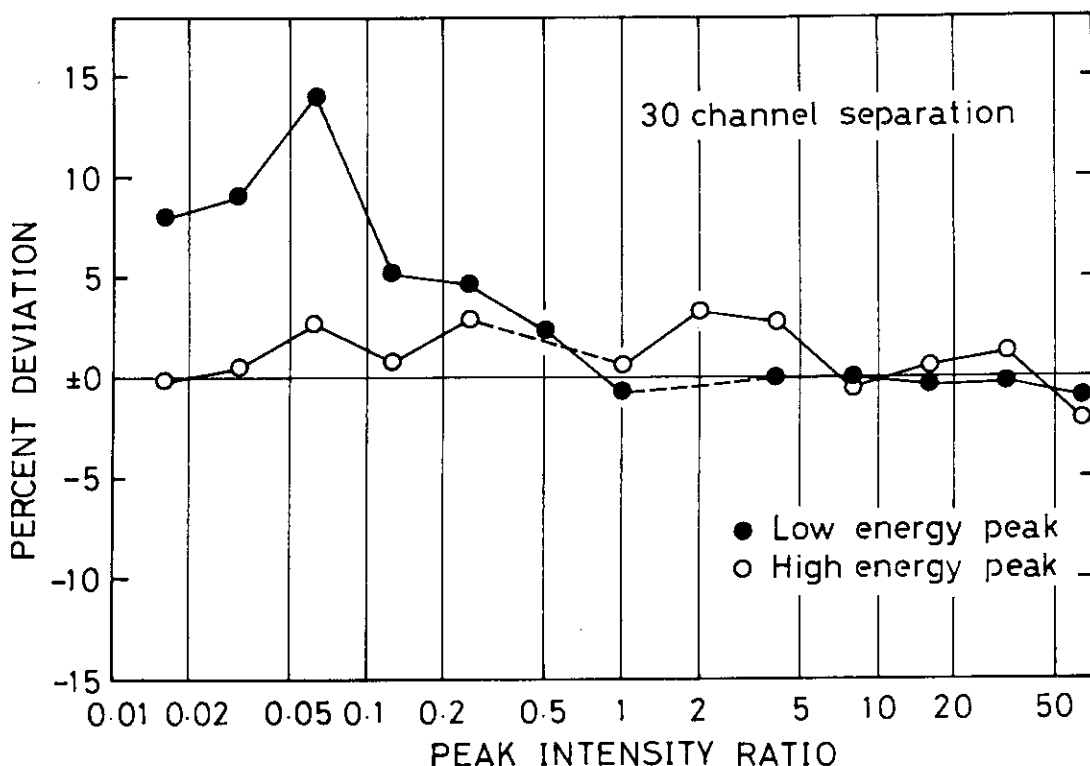


Fig.12 Results of an quantitative test of ALPS with artificially constructed a spectra in which the two peaks were separated by 30 channels.

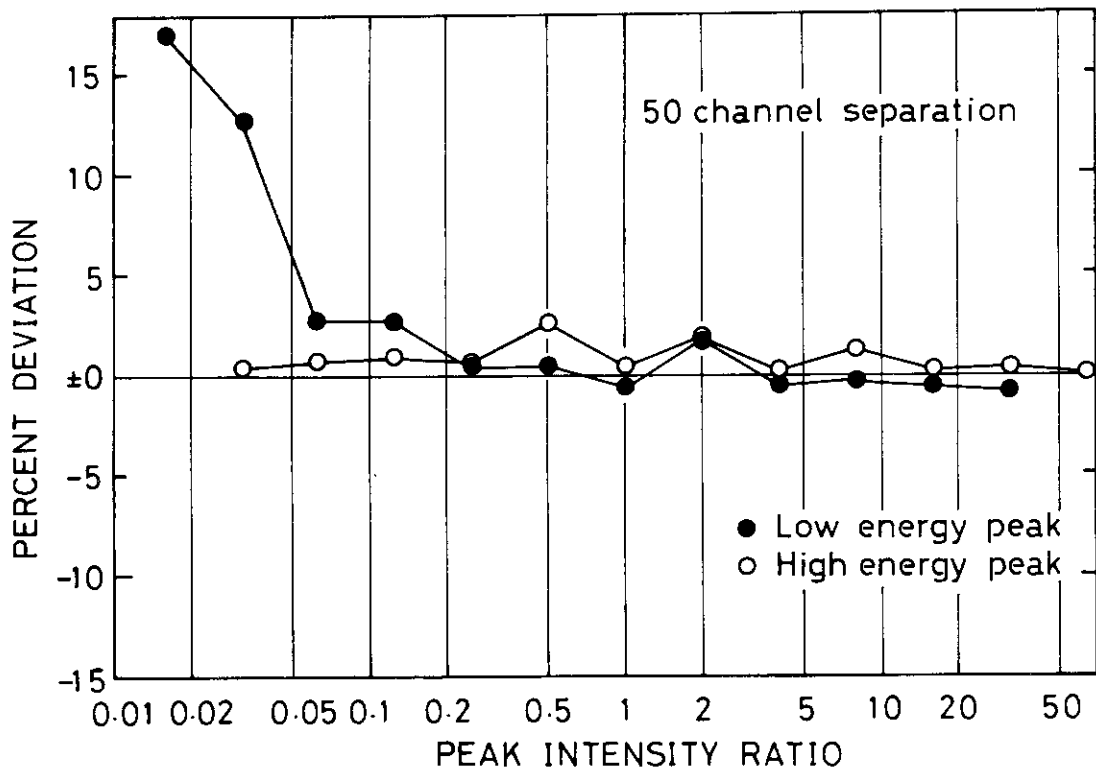


Fig.13 Results of an quantitative test of ALPS with artificially constructed a spectra in which the two peaks were separated by 50 channels.